

—□ 技術動向□—

LQR과 LQG의 安定强度 特性

宋澤烈
(大田機械廠)

■ 차례 ■

- 1. 서 론
- 2. SV의 정의와 성질
- 3. 보증된 LQR의 이득 및 위상여유

- 4. LTR을 갖춘 LQG
- 5. 결론 및 문제점

참고문헌

① 서 론

선형 2차 가우시안 (Linear Quadratic Gaussian; LQG)의 원리는 비행조종장치와 같은 다변수 제어 시스템의 설계에 이용되거나^{1), 10)}, Self Tuning Regulator (STR)를 이용한 적응제어²⁾의 분야에 적용되어지는 등 이를 활용하는 연구가 활발하게 진행되는 추세이다. LQG의 매력중의 하나는 이득 및 위상여유가 보증된 선형 2차 페귤레이터 (Linear Quadratic Regulator; LQR)의 특성을 회로전달 함수 회복 (Loop Transfer Recovery; LTR) 기법으로 재생시킬 수 있는데 있다고 보아진다. 미국에서도 주파수 기법이나 根轨迹를 이용하여 설계하는 실무진과 LQG를 주장하는 학계와의 논란이 계속되는 과도기의 상태인 것처럼 보인다. 이 기술 자료는 Singular Value (SV)를 이용하여 LQR의 이득 및 위상여유의 성질을 살펴보고 LQG의 응용을 위한 LTR 기법을 소개하고자 한다.

② SV의 정의와 성질

이 장에서는 앞으로의 전개에 필요한 SV의 정의 및 그 특성들을 간단히 소개한다.

정의 1; $A \in \mathbb{C}^{n \times m}$ 의 SV는 k 개의 ($k = \min(m, n)$) 음이 아닌 $A^H A$ 의 고유치의 제곱근을 뜻하며 $\sigma_i(A)$ 로 표시한다. 여기서 A^H 는 A 의 공액복소

수 전치행렬 (Complex Conjugate Transpose)이다. 즉,

$$\sigma_i(A) = \lambda_i^{1/2} (A^H A), \quad i = 1, 2, \dots, k.$$

위의 k 개의 SV 중 최대치와 최소치를 아래와 같이 표시한다.

$$\bar{\sigma}(A) = \max\{\sigma_i(A)\}$$

$$\underline{\sigma}(A) = \min_i\{\sigma_i(A)\}$$

여기서 $\underline{\sigma}(A)$ 는 A 가 정방행렬이라면 열마만치 A 가 Singular ($\det(A) = 0$ 또는 $\underline{\sigma}(A) = 0$)에 가까이 있음을 나타내는 정도임을 알 수 있다.

정의 2; $(A+E) \in \mathbb{C}^{n \times m}$, ($m \leq n$) 이 $\|x\| = 1$ 인 벡터 x 에 대해 $(A+E)x = 0$ 이면 $(A+E)$ 가 랭크결함 (rank deficiency)가 있다고 한다. (만약 $A+E$ 가 정방행렬이면 랭크결함은 singularity를 나타낸다)

따라서 랭크결함이 없는 행렬 A 에 대해 $A+E$ 가 랭크결함이 안될 충분조건은

$$\underline{\sigma}(A) > \bar{\sigma}(E) \quad (1)$$

임을 보일 수 있다. 또한 SV는 아래와 같은 성질을 가진다.

$$\bar{\sigma}(A) = 1/\underline{\sigma}(A^{-1}) \quad (2)$$

$$\bar{\sigma}(AB) \leq \bar{\sigma}(A) \bar{\sigma}(B) \quad (3)$$

$$\bar{\sigma}(A+B) \leq \bar{\sigma}(A) + \bar{\sigma}(B) \quad (4)$$

$$\underline{\sigma}(A) - \bar{\sigma}(B) \leq \underline{\sigma}(A+B) \leq \underline{\sigma}(A) + \bar{\sigma}(B) \quad (5)$$

③ 보증된 LQR의 이득 및 위상여유

선형 시불변 시스템의 방정식이 아래와 같이 주어지고

$$\dot{x} = A x + B u, \quad A \in \mathbb{R}^{n \times n}, \quad B \in \mathbb{R}^{n \times m}$$

제어함수 u 는 아래와 같은 적분치를 최소화 하도록 제어함수 u 는 아래와 같은 적분치를 최소화 하도록 제어함수 u 는 아래와 같은 적분치를 최소화 하도록

$$J = \int_0^{\infty} x^T C^T C x + \rho u^T u dt, \quad C^T C \in \mathbb{R}^{n \times n},$$

$$\text{상수 } \rho > 0$$

최적제어 u 는

$$u = -1/\rho B^T K x \triangleq -K_C x$$

이고 K_C 는 제어이득이고 $K \in \mathbb{R}^{m \times n}$ 은 리카티 대수방정식 (Algebraic Riccati Equation ; ARE)

$$-A^T K - KA + 1/\rho B B^T K = C^T C \quad (6)$$

에서 주어진다. 만약에 (A, B) 가 제어 가능 (Controllable)하고 (A, C) 가 관측 가능 (Observable)하면 설계된 제어 시스템은 항상 점근적으로 안정 (Asymptotically stable)함을 보일 수 있다.³⁾ 설계된 제어 시스템을 그림 1로 나타낼 수 있다.

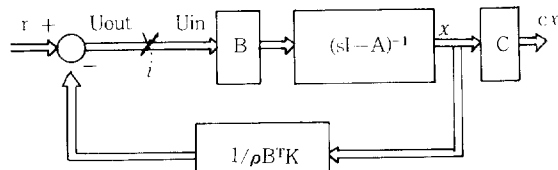


그림 1. LQR로 설계된 제어시스템

LQR의 설계여유를 얻기위해 식(6)에 주어진 ARE를 변형시켜 그림 1에서 주어진 전달행렬 (transfer matrix)의 식으로 나타내 보자. 먼저 식(6)의 좌변에 $-sK + sK$ 를 더하고 식(6)의 양변에 $B^T (-sI - A^T)^{-1}$ 과 $(sI - A)^{-1}B$ 를 앞과 뒤에 각각 곱한뒤 ρI 를 양변에 더해주면

$$\begin{aligned} &\rho(I + G_R(-s))^T(I + G_R(s)) \\ &= \rho I + G^T(-s)G(s) \end{aligned} \quad (7)$$

를 구할 수 있다. 여기서 $G(s) \triangleq C(sI - A)^{-1}B$, $G_R(s) \triangleq K_C(sI - A)^{-1}B$ 로 $G(s)$ 는 프랜트의 전달행렬이며 $G_R(s)$ 는 그림 1의 개회로의 전달행렬임을 알 수 있다. s 가 허수축상을 움직일때 식(7)의 양변의 SV를 구해보면

$$\sigma_i(I + G_R(s)) = (1 + 1/\rho \sigma_i^2(G(s)))^{1/2} \quad (8)$$

이 되어

$$\underline{\sigma}(I + G_R(s)) \geq 1 \quad (9)$$

이 됨을 알 수 있고 이는 단일입출력 시스템의 경우⁴⁾에서 구해진 LQR의 Circle Criteria의 일

반화라 할 수 있다.

실제로 시스템을 설계하는데 있어 구동장치의 높은 주파수 부분을 모델링에서 제외하는등 모델링에서 고려되지 않는 부분이 있다. 이러한 모델링의 오차를 그림 2와 같이 나타낼 수 있다.

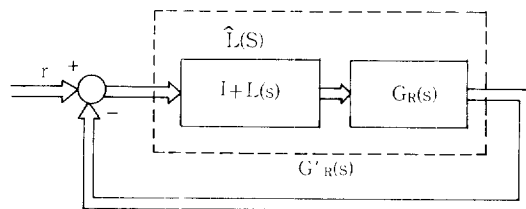


그림 2. 모델링의 오차를 고려한 그림 1의 변형

그림 2의 고려치 않은 오차는 다음의 간단한 예제와 같이 얻을 수 있다.

예제 1) $G_R(s) = K_C \Phi B$, ($\Phi \triangleq (sI - A)^{-1}$)에서 ΔA 의 파라미터 오차가 존재할 때 $G'_R(s) = K_C (\Phi^{-1} - \Delta A)^{-1} B$ 로서 $L(s)$ 를 구하는게 목적이다. 행렬의 역정리 (matrix inversion lemma)를 이용하여 $G'_R(s) = G_R(s)(I + L(s))$ 로 나타내면 $L(s) = G_R^{-1}(s)K_C \Delta A (I - \Phi \Delta A)^{-1} \Phi B$ 임을 알 수 있다.

이야기의 전개에 필요한 다음 정리를 참고문헌 5)에서 인용한다.

정리 1; $G'_R(s) = K_C (sI - A)^{-1} B (I + L(s))$ 에서 만족

a) 모델링의 오차를 고려치 않은 시스템과 고려한 시스템은 같은 수의 Right Half Plane (RHP) 개회로 根을 가지며

b) 허수축상의 $\det(sI - A) = 0$ 의 根은 모델링 오차가 있더라도 변치않으며

c) $\det(I + G_R(s)) = 0$ 의 根은 Left Half Plane (LHP) 상에만 존재하고

d) s 가 그림 3의 D_R 의 Contour상을 움직일때

$$\det(I + G'_R(s)) \neq 0$$

이면 $\det(I + G'_R(s)) = 0$ 의 根은 RHP에 존재하지 않는다. (閉회로는 안정하다)

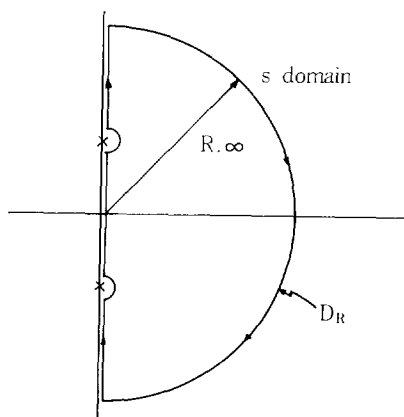
조건c)는 LQR에서 (A, B) 가 제어 가능하고 (A, C) 가 관측 가능 하다면 항상 만족되고 a)와

b)는 그다지 큰 제약이 되질 않는다. 여기서 조건d)

는 $\det(I + G_R(s)\hat{L}(s)) \neq 0$ ($\hat{L}(s) \triangleq I + L(s)$)을 나타내고 $I + G_R L$ 을 다르게 표현하면 (독립 변수

s 를 생략)

$$I + G_R L = ((\hat{L} - I)(I + G_R)^{-1} + I)(I + G_R)\hat{L} \quad (10)$$

그림 3. D_R 的 정의

으로 나타낼 수 있다. \hat{L} 과 G_R 은 정방행렬로서 역이 존재한다고 가정하면 식(10)에서 $(I + G_R) \hat{L}$ 은 singular 가 아니므로 $I + G_R \hat{L}$ 이 singular가 되지 않을 필요충분조건은 $(\hat{L} - I) (I + G_R)^{-1} + I$ 가 singular 가 아니면 된다. 즉 식(1)을 이용하여

$$\bar{\sigma}((\hat{L} - I) (I + G_R)^{-1}) < \underline{\sigma}(I) = 1 \quad (11)$$

이면 조건 d) 가 성립한다. (11)식의 좌변에 (3)식을 이용하여 좀 보수적인 관계식을 구하자

$$\bar{\sigma}(\hat{L} - I) \bar{\delta}((I + G_R)^{-1}) < 1 \quad (12)$$

여기서 유의할 점은 식(12) \rightarrow 식(11), 식(11) \nRightarrow 식(12). 식(12)은 (2)식을 이용하여

$$\bar{\sigma}(\hat{L} - I) < \underline{\sigma}(I + G_R) \quad (13)$$

로 표시할 수 있으며 한번 더 보수적인 관계식을 식(9)을 이용하여 얻으면

$$\bar{\sigma}(\hat{L} - I) < 1 \leq \underline{\sigma}(I + G_R) \quad (14)$$

이 된다. 식(14)이 뜻하는 바는 만약 모델링의 오차가 식(14)을 만족하면 정리 1의 조건 a) 와 b)를 만족하는 LQR 로 설계된 체환시스템은 항상 안정함

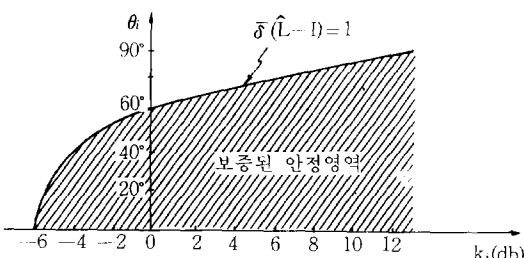


그림 4. 모델링 오차에 의한 LQR 의 안정영역

을 나타낸다. 여기서 모델링 오차의 상호간섭(coupling)을 고려치 않고 즉,

$\hat{L} = \text{diag}(k_1 e^{j\theta_1}, k_2 e^{j\theta_2}, \dots, k_m e^{j\theta_m})$, $k_i > 0$, 이라 두면⁶⁾

$$\bar{\sigma}(\hat{L} - I) = \max_i [(1 - 1/k_i)^2 + 2/k_i (1 - \cos \theta_i)]^{1/2} \quad (15)$$

이 되며 식(14)의 $\bar{\sigma}(\hat{L} - I) < 1$ 의 영역을 k_i 와 θ_i 를 동시에 변화시켜 나타내 보면 그림 4의 빛금침 부분과 같다.

참고문헌 5)에서 LQR 은 $-6 \sim \infty$ db 의 이득여유와 $\pm 60^\circ$ 의 위상여유를 갖는다 했으나 이는 k_i 와 θ_i 를 동시에 변화시키지 않고 \hat{L} 을 순전히 k_i 들이나 $e^{j\theta_i}$ 들로 고려했을 때의 결과임을 알 수 있다. 만약 \hat{L} 의 위상변화가 40° 이라면 그림 4에 의해 LQR 은 $-4 \sim \infty$ db 의 이득여유를 가짐으로 참

고문헌 5) 에서 보다 낙관적이 아님을 알 수 있다.

다음 장으로 넘어가기 전에 LQR 의 안정강도(Robustness) 를 증가시키는 방안을 고려해 보자. 여기서 그림 1의 $G(s) = C(sI - A)^{-1}B$ 가 최소위상 시스템이며 $\text{rank}(C) \leq \text{rank}(B)$ 라 가정하자. 그러면 참고문헌 7)에서 보인 바와 같이 식(6)의 K는

$$\lim_{\rho \rightarrow 0} K = 0 \text{ 또는 } \lim_{\rho \rightarrow 0} 1/\rho K B B^T K = C^T C \quad (16)$$

을 만족함을 알 수 있다. 식(6)에서 식(7)을 얻을 때 와 비슷하게 전개하여 식(16)을 이용하면 $\rho \downarrow 0$ 일때

$$(I - 2G_{CL}(-s))^T (I - 2G_{CL}(s)) \leq I \quad (17)$$

을 얻는다. 여기서 $G_{CL}(s) = K_C(sI - A + BK_C)^{-1}B$ 이며 K_C 는 앞에서 정의된 제어이득을 나타낸다. 간편히 단일입출력 시스템에서 식(17)을 해석하여 보면 $G_{CL} = G_R / (1 + G_R)$ 로 두면 식(17)을 만족하는 개회로 전달함수 G_R 의 Nyquist plot 은 G_R 복소평면상의 1 상한과 4 상한에만 존재함을 알 수 있고 이는 $\rho \downarrow 0$ 일때 LQR 은 Positivity의 특성을 갖는 Lyapunov 방정식을 이용하여 설계된 시스템과 마찬가지로 ∞ db 의 이득여유와 적어도 90° 이상의 위상여유를 가짐을 알 수 있다.

4 LTR을 갖춘 LQG

앞에서 본 바와 같이 LQR 을 이용한 체환제어는 모든 상태변수 x 가 이용되어야 한다는 결점이 있다. LQG 는 x 를 그의 추정치 \hat{x} 로 대치시켜 체환제어에 이용하며 (Separation Principle) 그림 1 의 시스템이 백색 가우시안 잡음들에 오염된 경우

\hat{x} 을 정상상태 (steady state)의 칼만 필터로 얻는 방법을 뜻한다. 시스템의 방정식은

$$\dot{x} = Ax + Bu + w$$

$$y = Hx + v$$

이고 여기서 W 는 프로세스 잡음으로 평균치가 0이고 $E\{w(t)w^T(\tau)\} = Q\delta(t-\tau)$, v 는 측정잡음으로 평균치가 0이고

$E\{v(t)v^T(\tau)\} = V\sigma(t-\tau)$ 이며 operator E 는 기대치를 뜻한다. 만약 (A, H) 가 관측가능하고 $(A, Q^{1/2})$ 가 제어가능하다면 x 의 추정치 \hat{x} 은

$$\dot{\hat{x}} = A\hat{x} + Bu + K_f(y - H\hat{x}) \quad (18)$$

에서 구해지며 $u = -K_c\hat{x}$ 이며 필터이득 K_f 는 $K_f = PH^T V^{-1}$ 이고 P 는 ARE

$$AP + P A^T + Q - PH^T V^{-1} HP = 0 \quad (19)$$

에서 구해진다. 이상과 같은 전체 LQG 를 그림으로 나타내면 그림 5 와 같다.

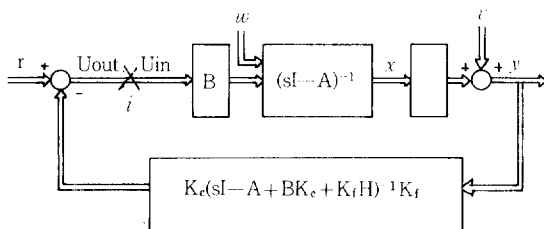


그림 5. LQG 로 설계된 제한시스템

그림 5의 r 에 대한 x 의閉회로 전달행렬은 그림 1의 r 에 대한 x 의閉회로 전달행렬과 같다.⁸⁾ 그러나 그림의 i 점에서 회로를 분리시키면 그림 1의 i 점에서 회로를 분리시켜서 얻은 U_{out} 의 U_{in} 에 대한閉회로 전달행렬은 같지가 않다. 이 말은 LQG의 i 점에 불확실성이나 외란이 존재한다면 LQG는 LQR의 안정강도를 가질 수 없음을 나타내고 LQR의 보증된 이득과 위상의 여유를 얻기 위해 LQG의 U_{out} 의 U_{in} 에 대한閉회로 전달행렬을 LQR의 그것과 같아지도록 하는 설계기법이 필요함을 나타낸다. 이것이 회로전달함수 회복 (LTR) 기법이다. 참고문헌 9) 에서 보인와 같이 식(19)의 ARE에 프로세스 잡음의 Power Spectral Density (PSD) Q 를 대칭이며 陽인 Unitary 행렬 W 를 이용하여

$$Q = Q_0 + q^2 B W B^T \quad (20)$$

라 두면 (여기서 Q_0 은 실제 프로세스 잡음의 PSD이고 $q^2 B W B^T$ 는 가상의 PSD) 식(16)이 유도된 참고문헌 7) 의 방법을 이용하면

$$\lim_{q \rightarrow \infty} q^2 (P / q^2) H^T V^{-1} H (P / q^2) = BWB^T \quad (21)$$

임을 보일 수 있다. 식(21)을 얻는데 $H(sI - A)^{-1} B$ 가 최소위상 시스템이며 rank (H) ≥ rank (B) 의 가정이 쓰여졌다.

$K_f = PH^T V^{-1}$ 이므로 식(21)을 이용하면

$$\lim_{q \rightarrow \infty} K_f = q BW^{1/2} V^{-1/2} \quad (22)$$

임을 얻는다. 식(22)의 K_f 를 사용하면 그림 5의 U_{in} 에 대한 전달행렬은

$$\lim_{q \rightarrow \infty} \{ -K_c (sI - A + BK_c + K_f H)^{-1} B \\ K_f \} \{ H(sI - A)^{-1} B \} = -K_c (sI - A)^{-1} B \quad (23)$$

따라서 $q \uparrow \infty$ 일때 LQG 의 전달행렬이 접근식으로 LQR 의 전달행렬로 회복되어짐을 알 수 있다.

5 결론 및 문제점

이상으로 LQG 로 설계된 시스템이 LQR 의 보증된 안정감도를 갖도록 K_f 를 조정하는 한 LTR 기법을 살펴보았다. 식(20)에서 q 가 0 이라면 필터는 실제의 프로세스 잡음의 $Q = Q_0$ 라는 점에서 최적이다. 그러나 q 의 값이 증가함에 따라 K_f 는 증가되고 식(18)에서 보는 바와 같이 \hat{x} 에 따라서 시스템의 동특성은 관측에 의해 수정되는 향보다 상대적으로 소홀히 취급되어진다. 따라서 출력 y 에 포함되어 지지않는 x 의 추정치 \hat{x} 은 그 실제값과 차이가 많이 나타날 우려가 생긴다. 또한 관측잡음이 \hat{x} 에 크게 영향을 미치므로 잡음을 배척하는 필터의 성질도 모호해질 우려가 있다. 그러나 안정강도의 관점에서는 크게 개선되어짐을 앞장에서 살펴보았다. 실제 설계에 있어서는 이 장점과 단점을 잘 trade off 시키는 단계가 필요할 것이다. 또한 추정치 \hat{x} 를 얻는데 정상상태의 칼만 필터를 이용하지 않고 극배치 (Pole Placement) 방법을 사용함도 고려할 수 있으며 이에 따른 LTR 도 흥미 있는 분야가 될 수 있을 것이다.

참고문헌

- 1) Speyer, J. L. et al ; "Mimo Controller Design for Longitudinal Decoupled Motion" AIAA G & C Conference Aug., 1983
- 2) Åström, K. J.; "Practical Aspects of Adaptive Control", IEEE CDC Workshop on Ada-

- ptive Control Dec., 1983
- 3) Brockett, R. W.; Finite Dimensional Linear Systems, John Wiley & Sons 1970
 - 4) Anderson, B. D. O. et al; Linear Optimal Control Prentice - Hall 1971
 - 5) Lehtomaki, N. A. et al ; "Robustness Results in Linear - Quadratic Gaussian based Multivariable Control Designs", IEEE Trans. on A. C. Vol. AC- 26, No. 1 Feb., 1981
 - 6) Mukhopadhyay, V. et al ; "Application of Matrix Singular Value Properties for Evaluating Gain and Phase Margins of Multiloop Systems", AIAA G & C Conference Aug., 1982
 - 7) Kwagernaak, H. et al ; "The Maximally Achievable Accuracy of Linear Optimal Regulators and Linear Optimal Filters", IEEE Trans. on A. C. Vol. AC-17, No. 1, Feb. 1972
 - 8) Kailath, T.; Linear Systems, Prentice Hall 1980
 - 9) Doyle, J. C. et al ; "Multivariable Feedback Design : Concepts for a Classical / Modern Synthesis", IEEE Trans. on A. C. Vol. AC- 26, No. 1, Feb., 1981
 - 10) Athans, M. et al ; "Multivariable Control for the F-100 Engine Using the LQG/LTR Methodology", AIAA G & C Conference Aug., 1984

◆ 고마상식 ◆

西獨은 Pebble-Bed形原子炉를 完成

西獨의 둘트몬트市近郊의 적은 마을인 Schmehausen에서는 發電開始를 위하여 原子爐建設이 最終段階에 들어갔다고 한다. 볼状燃料要素를 使用하고 있는 이 原子爐는 高溫가스燈會社 (HRB, 西獨 Mannheim)에서 設計하고 建設한 것으로서 將來 發電用 原子爐의 主流를 이룰 것으로 내다 보고 있다.

페블-베드 (pebble - Bed) 形이라고 하는 이 原子爐는 固有의 安全性을 갖고 있는데 例을 들면 輕水冷却의 原子爐에서와 같이 事故時 爐心熔融은 없다고 한다. 以外에 重要한 것으로서는 爐心에서 950°C의 热エネルギー를 取出하기 때문에 石炭의 가스化등 化學프로세스에 利用될 수 있어 이 爐의 開發은 큰 意義가 있다고 한다.

한편 Juelich 原子力研究セン서에서는 이미 研究를 進行하고 있으며 15MWe의 實驗爐가 1967年부터 運轉되고 있으며 이런 種類의 原子爐概念을 開發한 HRB 社는 Brown Boveri 社가 55% 그리고 General Atomic Technology 社 (California 州 San Diego) 가 45%을 出資해서 設立한 會社이라고 한다.

그런데 Schmehausen 原子爐는 THTR (thorium high - temperature reactor) - 300이라고 부르며 電氣出力 300MWe, 93%濃縮우라늄과 토리움을 燃料로 使用하고 있다. ^{233}Th 는 原子爐中에서 ^{233}U 로 變換되기 때문에 燃料의 增殖을 行할 수 있으며 볼状의 燃料要素는 Nukem 社 (西獨 Hanau)에서 製造되고 있는데 直徑 6 cm의 黑鉛의 볼中에 炭素로서 被覆된 機燃料粒子가 30,000 個 収納되고 있다. 그런데 原子爐의 爐心은 볼状燃料要素를 675,000 個 쌓아서 페블베드状으로 構成하고 있다고 한다.

한편 HRB 社의 E. Baust 氏에 의하면 이런 種類의 爐心은 热容量이 크고 事故時에도 爐心의 温度上昇이 적으며 또한 爐心을 構成하는 黑鉛은 耐熱性이 良好하여 3,650°C까지 損傷을 받지 않는다고 한다.

그리고 西獨의 16個電力會社는 共同으로 HRB 社에 대해서 原子燈의 概念設計와 經濟性 評價를 發注하였는데 이 作業은 現在 終了하여 다음 3年에 걸쳐 細密한 設計에 들어갈 豫定이라고 한다. Baust 氏는 또한 爐의 經濟性이 1,200 MWe의 輕水形原子爐와 같아서 90年代에는 運轉開始를 展望할 수 있다고 말하고 있다.